

Statički proračun stambene zgrade

Ivanušić, Karlo

Undergraduate thesis / Završni rad

2022

Degree Grantor / Ustanova koja je dodijelila akademski / stručni stupanj:

University of Split, Faculty of Civil Engineering, Architecture and Geodesy / Sveučilište u Splitu, Fakultet građevinarstva, arhitekture i geodezije

Permanent link / Trajna poveznica: <https://um.nsk.hr/um:nbn:hr:123:435899>

Rights / Prava: [In copyright](#)/[Zaštićeno autorskim pravom.](#)

Download date / Datum preuzimanja: **2024-07-28**



Repository / Repozitorij:

[FCEAG Repository - Repository of the Faculty of Civil Engineering, Architecture and Geodesy, University of Split](#)



UNIVERSITY OF SPLIT



**SVEUČILIŠTE U SPLITU FAKULTET GRAĐEVINARSTVA,
ARHITEKTURE I GEODEZIJE**

ZAVRŠNI RAD

Karlo Ivanušić

Split, 2022

**SVEUČILIŠTE U SPLITU FAKULTET GRAĐEVINARSTVA,
ARHITEKTURE I GEODEZIJE**

Statički proračun stambene zgrade

Završni rad

Split, 2022

**SVEUČILIŠTE U SPLITU
FAKULTET GRAĐEVINARSTVA, ARHITEKTURE I GEODEZIJE**

Split, Matice hrvatske 15

STUDIJ: **PREDDIPLOMSKI SVEUČILIŠNI STUDIJ
GRAĐEVINARSTVA**

KANDIDAT: **KARLO IVANUŠIĆ**

MATIČNI BROJ (JMBAG): **0083223319**

KATEDRA: **Katedra za teoriju konstrukcija**

PREDMET: **Građevna statika 2**

ZADATAK ZA ZAVRŠNI RAD

Tema:

Statički proračun stambene zgrade

Opis zadatka: Na temelju zadane tlocrtne podloge, potrebno je izraditi 3-D proračunski model građevine u programu „Scia Engineer“. Na temelju dobivenih rezultata proračunavaju se određeni nosivi elementi zgrade. Izrađeni projekt mora sadržavati: - tehnički opis - proračun - građevne nacрте

U Splitu, rujan 2022.

Voditelj Završnog rada:

prof.dr.sc Boris Trogrlić,dipl.ing.građ

Statički proračun stambene zgrade

Sažetak

U projektu je prikazan statički proračun stambene zgrade koja se sastoji od prizemlja, tri etaže i ravnog krova. Nosiva konstrukcija zgrade izvedena je od armirano betonskih ploča, zidova i stupova.

Projekt se sastoji od tehničkog opisa, proračuna nosivih konstrukcija elementa i građevinskih nacрта.

Ključne riječi:

Statički proračun, stambena zgrada

Static calculation of apartment building

Summary:

The static design of apartment building is presented in this work which consist of three stories, ground floor and flat roof. Structure is made of reinforced concrete consisting plates, walls and beams. The work includes technical description of the structure, calculation of the main structural elements and characteristic structural plans.

Keywords:

Static calculation, apartment building

Sadržaj

| | | |
|-------|---|----|
| 1. | TEHNIČKI OPIS | 6 |
| 1.1 | Opis i konstrukcijski sastav građevine..... | 6 |
| 1.2 | Geotehnički izvještaj | 6 |
| 2. | 3-D PRORAČUNSKI MODEL GRAĐEVINE..... | 7 |
| 3. | ANALIZA OPTEREĆENJA..... | 10 |
| 3.2 | Stalno opterećenje G_0 | 10 |
| 3.2.1 | Vlastita težina elementa konstrukcije | 10 |
| 3.2.2 | Krovna ploča | 10 |
| 3.2.3 | Međukatne ploče | 11 |
| 3.3 | Promjenjivo opterećenje Q_j | 12 |
| 4. | PRIKAZ OSNOVNIH DJELOVANJA..... | 13 |
| 4.1 | Krovna ploča..... | 13 |
| 4.2 | Međukatna ploča | 14 |
| 5. | KOMBINACIJE DJELOVANJA..... | 15 |
| 6. | PRORAČUN PLOČA | 16 |
| 6.1 | Međukatna ploča | 16 |
| 6.1.1 | Prikaz modela i rezultata međukatne ploče..... | 17 |
| 6.1.2 | Kontrola progiba i pukotina međukatne ploče | 20 |
| 6.1.3 | Kontrola progiba međukatne ploče | 20 |
| 6.1.4 | Kontrola pukotina..... | 22 |
| 6.2 | Proračun krovne ploče | 25 |
| 6.2.1 | Prikaz modela i rezultata krovne ploče | 26 |
| 6.2.2 | Kontrola progiba..... | 30 |
| 6.2.3 | Kontrola pukotina..... | 31 |
| 7. | PRORAČUN ZIDOVA..... | 34 |
| 7.1 | Opći uvjeti | 34 |
| 7.2 | Prikaz modela i dijagrama | 35 |
| 8. | PRORAČUN TEMELJA..... | 39 |
| 8.2 | Proračun trakastih temelja..... | 41 |
| 8.2.1 | Model trakastih temelja | 41 |
| 8.2.2 | Proračun širine temeljne stope | 42 |
| 8.2.3 | Slijeganje građevine | 42 |
| 9. | GRAFIČKI PRILOZI | 44 |

1. TEHNIČKI OPIS

1.1 Opis i konstrukcijski sastav građevine

U projektu radimo proračun nosive konstrukcije građevine stambene namjene. Građevina se sastoji od ukupno pet etaža, pravilnog tlocrtnog oblika – dimenzija 11.75 x 23.75 m.

Ukupna visina građevine iznosi 12.2 m mjereno od podne ploče prizemlja.

Glavni nosivi konstrukcijski sustav sastoji se od armirano-betonskih (AB) zidova i međukatnih konstrukcija koje su izrađene od armiranog betona, lijevane na licu mjesta debljine 20cm. Ravna krovna ploča je debljine 20 cm i izvedena je od armiranog betona. Vertikalna nosiva konstrukcija građevine su zidovi debljine 25 cm.

Temeljenje je predviđeno na trakastim temeljima od armiranog betona ispod nosivih zidova i stupova, širine 60 cm i visine 60 cm.

U proračunu su dane osnovne dimenzije armature za pojedine konstruktivne elemente. Elementi koji se ne proračunavaju armiraju se konstruktivno. Za sve betonske radove predviđen je beton C 25/30, te armatura B 500B. Skidanje podupirača za ploče može se izvršiti nakon postignute minimalne čvrstoće od 80%.

Za temelje je upotrebljena klasa betona C 25/30. Svi računalni proračuni su izvršeni u programu „Scia Engineer“. Svi ostali podaci i detalji vezani za objekt dani su kroz projektna rješenja.

1.2 Geotehnički izvještaj

Za predmetnu građevinu su izvršeni geotehnički istražni radovi.

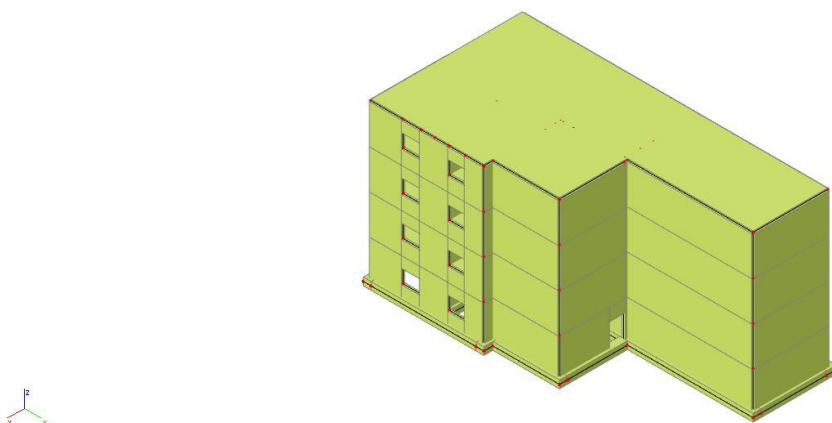
Matična stijena nalazi se na oko 85 cm od površine terena, temeljenje građevine će se izvesti na njoj.

Pri završetku iskopa temeljnu plohu potrebno je ručno očistiti od ostataka razlomljenog materijala. Nakon obavljenog čišćenja temeljne plohe potrebno je neravnine i udubine popuniti i izravnati podložnim betonom C 16/20 do projektirane kote temeljenja.

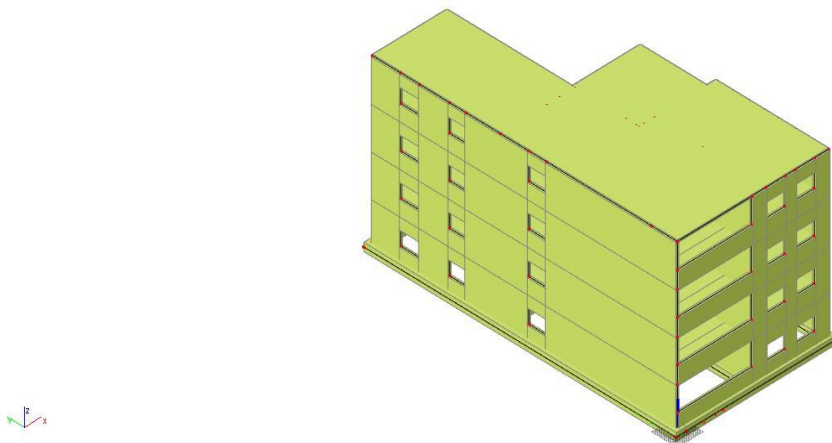
Ukoliko se naiđe na kavernu veće dubine i manje širine, a nije moguće potpuno uklanjanje materijala, sanaciju izvesti tako da se materijal ukloni do dubine 50 cm ispod kote temeljenja, a nastali prostor do projektirane kote zapuni podbetonom.

Na osnovu rezultata geotehničkih istražnih radova, dopuštena centrična naprežanja tla na detaljno očišćenim naslagama matične stijene uzeta su za osnovna opterećenja 300 kPa.

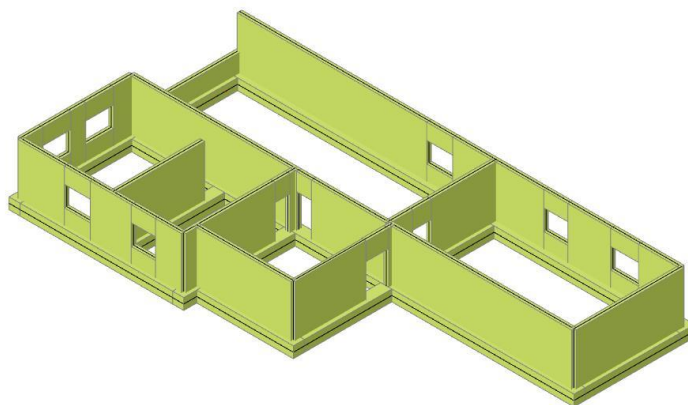
2. 3-D PRORAČUNSKI MODEL GRAĐEVINE



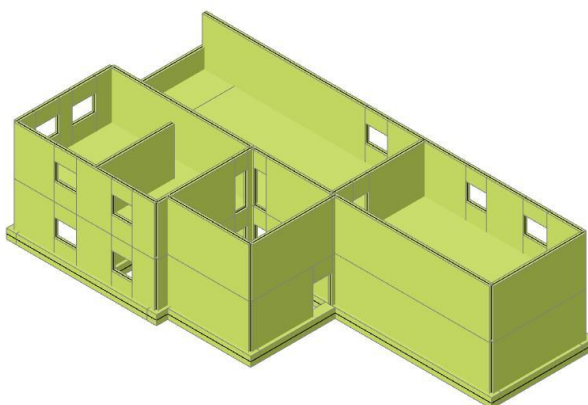
Slika 2.1 – proračunski model objekta - pogled 1



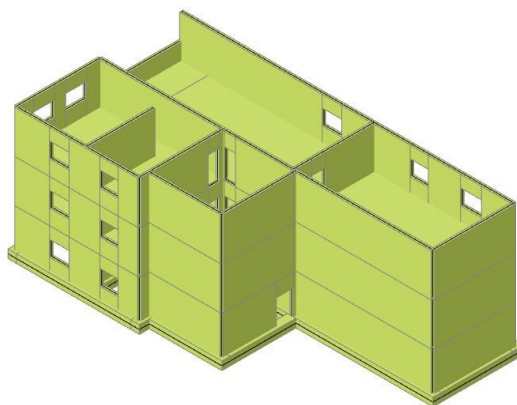
Slika 2.2 – proračunski model objekta - pogled 2



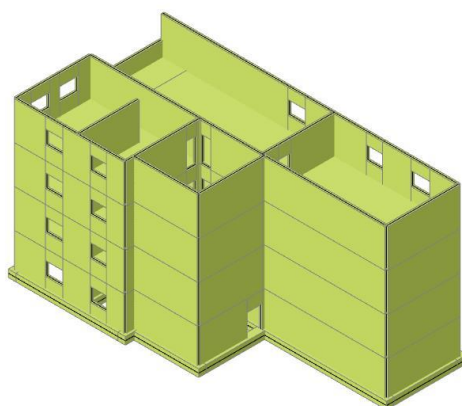
Slika 2.3 – proračunski model objekta - pogled 3



Slika 2.4 – proračunski model objekta - pogled 4



Slika 2.5 – proračunski model objekta - pogled 5



Slika 2.6 – proračunski model objekta - pogled 6

3. ANALIZA OPTEREĆENJA

3.1 Podaci o osnovnim djelovanjima

Osnovna opterećenja podijeljena su:

| OZNAKA OSNOVNOG DJELOVANJA | OPIS DJELOVANJA |
|----------------------------|--|
| G_0 | Stalno djelovanje – vlastita težina elementa nosive konstrukcije |
| G_1 | Dodatno stalno djelovanje – dodatna oprema, pokrov, obloge... |
| Q_i | Promjenjivo djelovanje – uporaba objekta, pokretna oprema |

Tablica 3.1 podaci o osnovnim djelovanjima

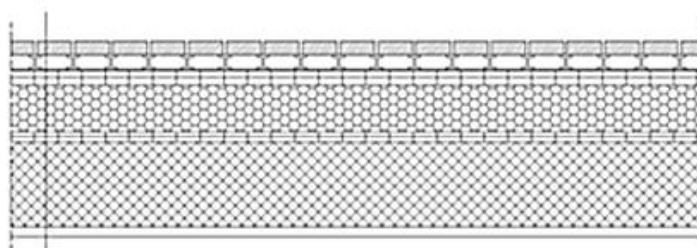
3.2 Stalno opterećenje G_0

3.2.1 Vlastita težina elementa konstrukcije

Stalno opterećenje uključeno je u proračun kao u nastavku:

- Specifična težina armiranog betona iznosi $g=25.0\text{kN/m}^3$
- Stalno opterećenje od vlastite težine elemenata armirano betonske konstrukcije sadržano je u proračunskom modelu, sukladno dimenzijama poprečnih presjeka i zadanoj specifičnoj težini.

3.2.2 Krovna ploča



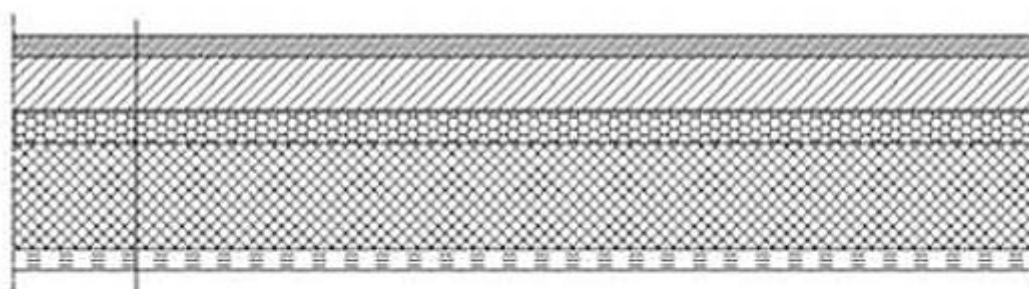
| | |
|-----------------------|--------|
| - betonska ploča | 3 cm |
| - podmetači | 3 cm |
| - PE folija | - |
| - hidroizolacija | 1.5 cm |
| - toplinska izolacija | 10 cm |
| - parna brana | 1 cm |
| - AB ploča | 20 cm |
| - žbuka | 2 cm |

| Sloj: | Debljina sloja (m): | γ (kN/m ³) | $d \times \gamma$ (kN/m ²) |
|---------------------|---------------------|-------------------------------|--|
| Betonska ploča | 0,03 | 25,00 | 0,75 |
| Podmetači | 0,03 | - | - |
| PE folija | - | - | - |
| Hidroizolacija | 0,015 | 5,90 | 0,09 |
| Toplinska izolacija | 0,10 | 1,50 | 0,30 |
| Parna brana | 0,01 | 0,15 | 0,0015 |
| AB ploča | 0,20 | Uključena u SCIA-u | |
| Žbuka | 0,02 | 19,00 | 0,38 |

Ukupno dodatno stalno opterećenje: $\Delta g = 1,52$ (kN/m²)

Tablica 3.2.1 Slojevi ravnog krova

3.2.3 Međukatne ploče



| | | |
|-----------------------|--------|--------------------------------------|
| - završna obrada | 2.5 cm | |
| - cem. estrih | 5 cm | |
| - PE folija | - | |
| - toplinska izolacija | 3 cm | |
| - AB ploča | 20 cm | + instalacije 0.25 kN/m ² |
| - žbuka | 2 cm | |

| Sloj: | Debljina sloja (m): | γ (kN/m ³) | $d \times \gamma$ (kN/m ²) |
|---------------------|---------------------|-------------------------------|--|
| Pregradni zidovi | 0,15 | 3,30 | 0,50 |
| Završna obrada | 0,025 | 9,60 | 0,24 |
| Cementni estrih | 0,05 | 22,00 | 1,10 |
| PE folija | - | - | - |
| Toplinska izolacija | 0,03 | 2,00 | 0,015 |
| AB ploča | 0,20 | Uključeno u SCIA-u | |
| Žbuka | 0,02 | 0,02 | 0,38 |
| Instalacije | - | - | 0,25 |

Ukupno dodatno stalno opterećenje: $\Delta g = 2,50$ (kN/m²)

Tablica 3.2.2 Slojevi poda međukatnih konstrukcija

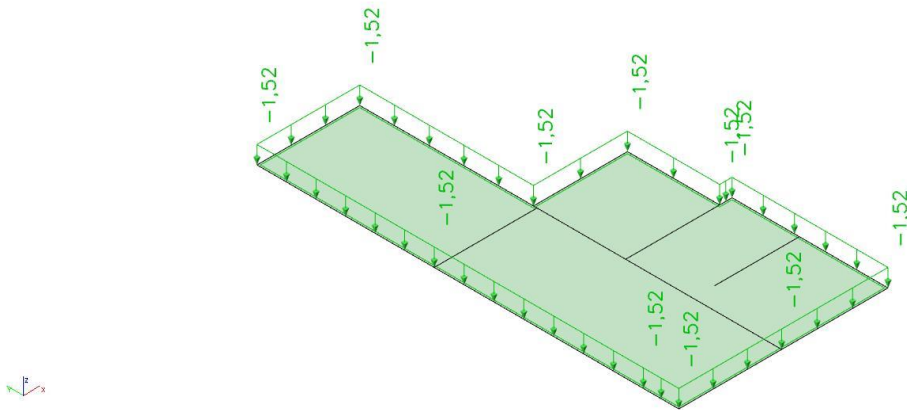
3.3 Promjenjivo opterećenje Q_i

Minimalno korisno opterećenje za zgrade definirano je u EC1991-1-1. Ovo korisno (pokretno) opterećenje je najmanje koje se smije primjeniti na zgradama. Na zahtjev investitora ili pri procjeni projektanta smije se koristiti i veće opterećenje. Za potrebe proračuna, a prema EC1991-1-1 korištena su sljedeća opterećenja:

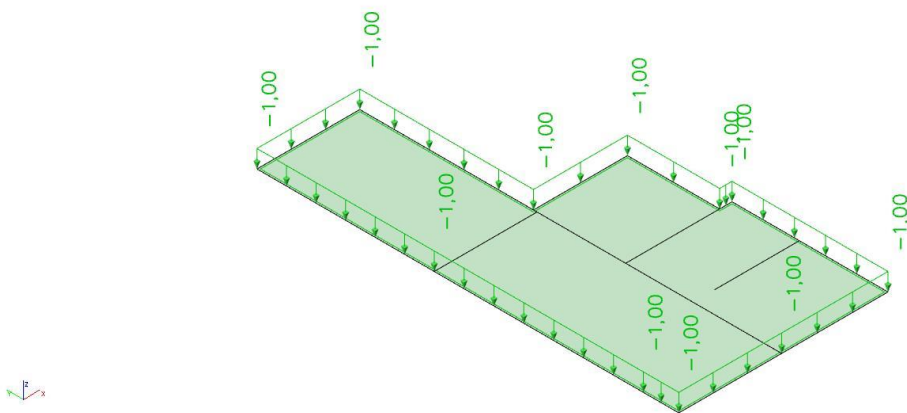
- Ravni krov: $q = 1,0 \text{ kN/m}^2$
- Stubišta i poslovni prostori: $q = 2,0 \text{ kN/m}^2$
- Balkoni i lođe: $q = 4,0 \text{ kN/m}^2$

4. PRIKAZ OSNOVNIH DJELOVANJA

4.1 Krovna ploča

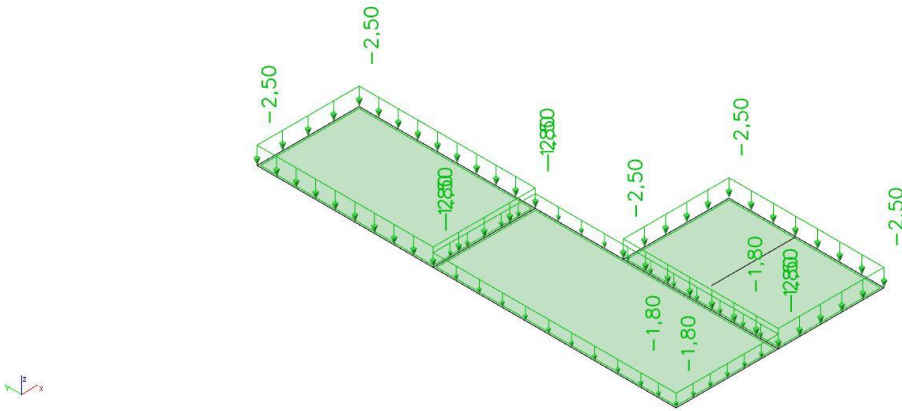


Slika 4.1.1 Dodatno stalno djelovanje G_1 [kN/m^2]

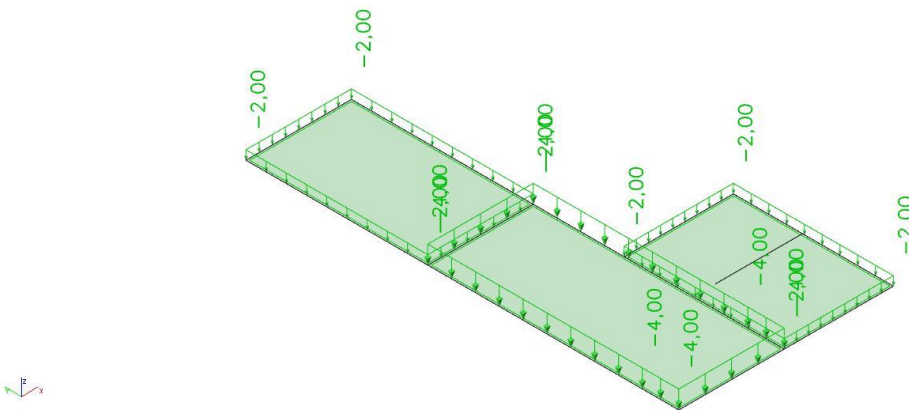


Slika 4.1.2 Dodatno stalno djelovanje Q [kN/m^2]

4.2 Međukatna ploča



Slika 4.2.1 Dodatno stalno djelovanje $G1$ [kN/m²]



Slika 4.2.2 Dodatno stalno djelovanje Q [kN/m²]

5. KOMBINACIJE DJELOVANJA

Za dokaz nosivosti elemenata konstrukcije predmetne građevine, djelovanja se kombiniraju za sljedeća granična stanja i iznose:

- **Granično stanje nosivosti**

GSN-1 $1.35 \cdot G + 1.5 \cdot Q$

G – vlastita težina + dodatno stalno djelovanje

**vlastita težina je uračunata u programu SCIA Engineer*

Q – uporabno djelovanje

- **Granično stanje uporabljivosti**

GSU-1 (česta kombinacija) $1.0 \cdot G + \Psi_{1i} \cdot Q$

$1.0 \cdot G + 0.5 \cdot Q$

$\Psi_{1i} = 0.5$ za promjenjiva djelovanja u stambenim zgradama za čestu kombinaciju. Česta kombinacija se koristi za kontrolu progiba ploča i greda, te za kontrolu pukotina ploča i greda.

GSU-2 (nazovistalna kombinacija) $1.0 \cdot G + \Psi_{2i} \cdot Q$

$1.0 \cdot G + 0.3 \cdot Q$

$\Psi_{2i} = 0.3$ za promjenjiva djelovanja u zgradama poslovne namjene za nazovistalnu kombinaciju. Nazovistalna kombinacija se koristi za ograničenje tlačnog naprezanja u armirano betonskim elementima, te za kontrolu dugotrajnih progiba.

6. PRORAČUN PLOČA

6.1 Međukatna ploča

Limitirajući moment:

$$M_{Rd,lim} = \mu_{sd,lim} \cdot b_w \cdot d^2 \cdot f_{cd} = 0.159 \cdot 1.0 \cdot 0,20^2 \cdot 16,67 \cdot 1000 = 106.02 \text{ kNm}$$

Minimalna i maksimalna armatura:

$$A_{s,min} = 0.0015 \cdot b \cdot d = 0.0015 \cdot 100 \cdot 20 = 3 \text{ cm}^2 / m$$

$$A_{s,min} = 0.06 \cdot b \cdot \frac{d}{f_{yk}} = 0.06 \cdot 100 \cdot \frac{20}{500} = 2,4 \text{ cm}^2 / m$$

$$A_{s,max} = 0.31 \cdot b \cdot d \cdot \frac{f_{cd}}{f_{yd}} = 0.31 \cdot 100 \cdot 20 \cdot \frac{16,67}{434.80} = 23,77 \text{ cm}^2 / m$$

Za proračun armature usvaja se $\zeta \approx 0.9$, potrebna armatura:

$$A_{s1} = \frac{M_{Ed}}{\zeta \cdot d \cdot f_{yd}} = \frac{M_{Ed} \cdot 100}{0.9 \cdot 20 \cdot 43.48} = M_{Ed} \cdot 0.150$$

Računska nosivost na poprečnu silu bez poprečne armature :

$$V_{Rd,c} = \left[C_{Rdc} \cdot k \cdot (100 \cdot \rho_l \cdot f_{ck})^{1/3} + k_1 \cdot \vartheta_{cp} \right] \cdot b_w \cdot d$$

$$k = 1.0 + \sqrt{\frac{200}{d}} = 1.0 + \sqrt{\frac{200}{200}} = 2.0 \leq 2.0 \rightarrow k = 2.0$$

$$k_1 = 0.15$$

$$\vartheta_{cp} = \frac{N_{Ed}}{A_c} = 0.0$$

$$C_{Rdc} = \frac{0.18}{\gamma_c} = \frac{0.18}{1.5} = 0.12$$

$$\rho_l = \frac{\sum A_s}{A_c} = \frac{3,85}{20 \cdot 100} = 0.0019$$

$$V_{Rd,c} = \left[0.12 \cdot 2.0 \cdot (100 \cdot 0.0019 \cdot 25)^{1/3} + 0.15 \cdot 0.0 \right] \cdot 1000 \cdot 200$$

$$V_{Rd,c} = 80.69 \text{ kN/m}$$

$$V_{Rd,c,min} = \left[v_{min} + k_1 \cdot \vartheta_{cp} \right] \cdot b_w \cdot d$$

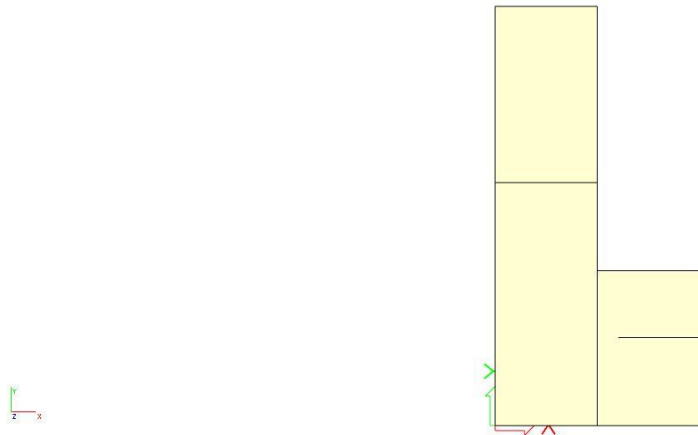
$$v_{min} = 0.035 \cdot k^{3/2} \cdot f_{ck}^{1/2} = 0.035 \cdot 2.0^{3/2} \cdot 25^{1/2} = 0.495$$

$$\vartheta_{cp} = \frac{N_{Ed}}{A_c} = 0.0$$

$$V_{Rd,c,min} = 0.495 \cdot 1000 \cdot 200 = 99,0 \text{ kN/m}$$

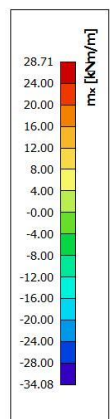
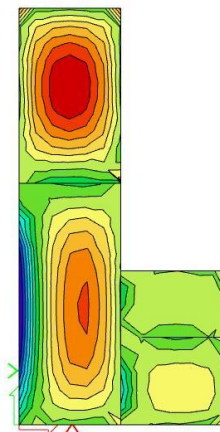
Uvjet je zadovoljen.

6.1.1 Prikaz modela i rezultata međukatne ploče



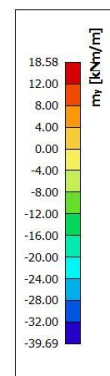
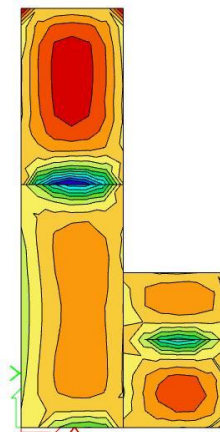
Slika 6.1 Prikaz modela ploče

2D internal forces
 Values: m_x
 Linear calculation
 Combination: GSN1
 Extreme: Global
 Selection: All
 Location: In nodes avg. on macro.
 System: LCS mesh element



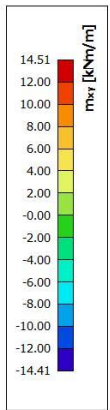
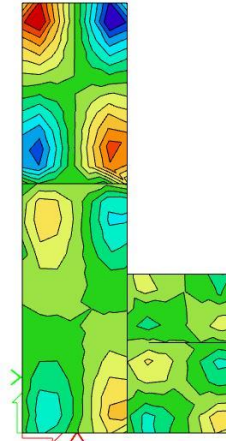
Slika 6.2 Moment savijanja $M_{Ed,x}$ (kNm/m) za GSN-1

2D internal forces
 Values: m_y
 Linear calculation
 Combination: GSN1
 Extreme: Global
 Selection: All
 Location: In nodes avg. on macro.
 System: LCS mesh element



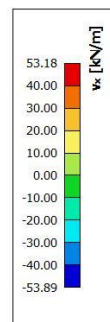
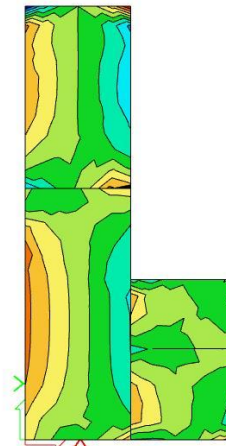
Slika 6.3 Moment savijanja $M_{Ed,y}$ (kNm/m) za GSN-1

2D internal forces
 Values: m_{xy}
 Linear calculation
 Combination: GSN1
 Extreme: Global
 Selection: All
 Location: In nodes avg. on macro.
 System: LCS mesh element



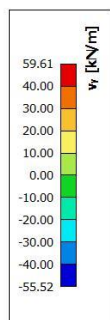
Slika 6.4 Moment savijanja $M_{Ed,xy}$ (kNm/m) za GSN-1

2D internal forces
 Values: v_x
 Linear calculation
 Combination: GSN1
 Extreme: Global
 Selection: All
 Location: In nodes avg. on macro.
 System: LCS mesh element



Slika 6.5 Poprečne sile $V_{Ed,x}$ (kN/m) za GSN-1

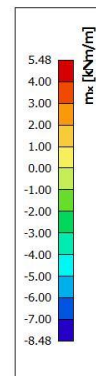
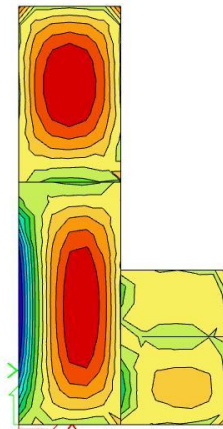
2D internal forces
 Values: v_y
 Linear calculation
 Combination: GSN1
 Extreme: Global
 Selection: All
 Location: In nodes avg. on macro.
 System: LCS mesh element



Slika 6.6 Poprečne sile $V_{Ed,y}$ (kN/m) za GSN-1

2D internal forces

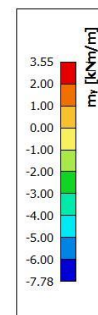
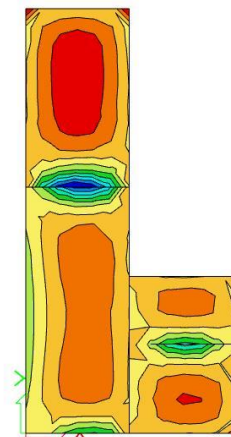
Values: m_x
 Linear calculation
 Combination: AS
 Extreme: Global
 Selection: All
 Location: In nodes avg. on macro.
 System: LCS mesh element



Slika 6.7 Potrebna površina armature $A_s(\text{cm}^2/\text{m})$ u x smjeru

2D internal forces

Values: m_y
 Linear calculation
 Combination: AS
 Extreme: Global
 Selection: All
 Location: In nodes avg. on macro.
 System: LCS mesh element



Slika 6.8 Potrebna površina armature $A_s(\text{cm}^2/\text{m})$ u y smjeru

Napomena: Dobivenu armaturu zbog preraspodjele umanjiti za 15% nad ležajem i povećati za 30% u polju.

Potrebna armatura na ležaju: $A_s = 8,48 \times 0,85 = 7,21 \text{ cm}^2 / \text{m}'$

Potrebna armatura u polju: $A_s = 5,48 \times 1,30 = 7,12 \text{ cm}^2 / \text{m}'$

Odabrana armatura

Ležaj: Q-785 ($7,85 \text{ cm}^2 / \text{m}'$)

Polje: Q-785 ($7,85 \text{ cm}^2 / \text{m}'$)

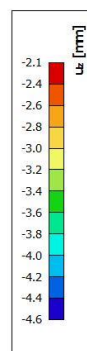
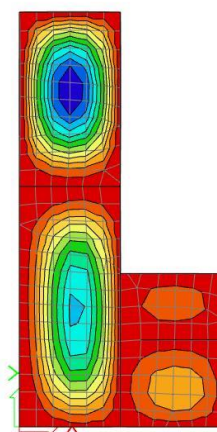
6.1.2 Kontrola progiba i pukotina međukatne ploče

S obzirom da je model građevine modeliran na temeljnom tlu realnih karakteristika cijela građevina će imate pomake određenih vrijednosti, pa tako i međukatne ploče. Zbog nemogućnosti prikazivanja relativnih pomaka ploča bit će prikazani ukupni pomaci ploča koji nisu mjerodavni za analizu.

Kako bismo dobili pomake koji će prikazat pravo ponašanje ploče od ukupnih pomaka oduzet ćemo translacijsku komponentu pomaka, te na taj način dobivamo deformacijsku komponentu pomaka koja će se analizirati.

6.1.3 Kontrola progiba međukatne ploče

3D displacement
 Values: u_z
 Linear calculation
 Combination: GSU1
 Selection: All
 Location: In nodes avg. on macro.
 System: LCS mesh element



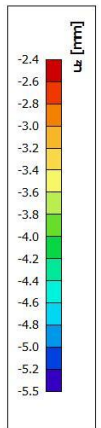
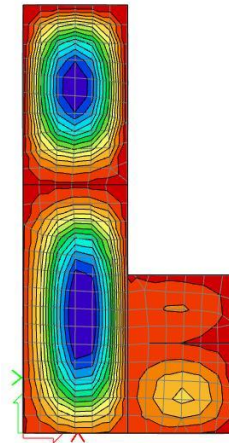
Slika 6.9 Progib ploče (mm) za kombinaciju GSU-1

Najveći progib iznosa je $4.6 - 2.1 = 2.5$ mm.

Dozvoljen progib $L/1000 = 5500/1000 = 5,5$ mm

Međukatna ploča zadovoljava na progibe.

3D displacement
 Values: u_z
 Linear calculation
 Combination: GSU2
 Selection: All
 Location: In nodes avg. on macro.
 System: LCS mesh element



Slika 6.10 Progib ploče (mm) za kombinaciju GSU-2

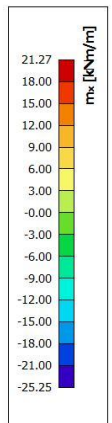
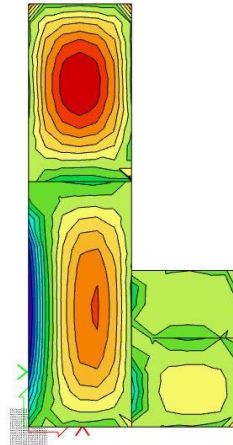
Najveći progib iznosa je $5.5 - 2.4 = 3.1$ mm.
 Dozvoljen progib $L/1000 = 5500/1000 = 5,5$ mm
 Međukatna ploča zadovoljava na progibe.

Oduzimanjem translacijske komponente pomaka dobivamo komponentu koja je se analizira odnosno provjerava je li zadovoljava dozvoljene granice. Kod 3-D modela koji su modelirani sa realnim karakteristikama tla bilo bi poželjno napraviti poseban model ploče karakteristične etaže.

6.1.4 Kontrola pukotina

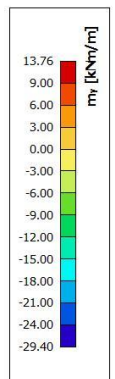
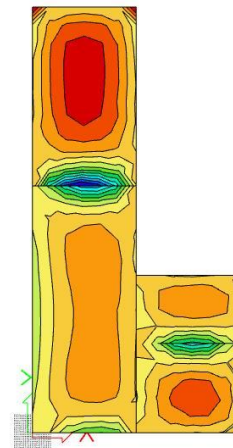
U priložena dva dijagrama odabire se najveći moment savijanja koji će biti mjerodavan izračunu širine pukotine.

2D internal forces
 Values: m_x
 Linear calculation
 Combination: GSU1
 Extreme: Global
 Selection: All
 Location: In nodes avg. on macro.
 System: LCS mesh element



Slika 6.11 Moment savijanja $M_{Ed,x}$ (kNm/m) za GSU-1

2D internal forces
 Values: m_y
 Linear calculation
 Combination: GSU1
 Extreme: Global
 Selection: All
 Location: In nodes avg. on macro.
 System: LCS mesh element



Slika 6.12 Moment savijanja $M_{Ed,y}$ (kNm/m) za GSU-1

Mjerodavni moment $M = 21.27 \text{ kNm/m}$

Prognozna širina pukotine:

$$w_k = s_{r,max} \cdot (\varepsilon_{sm} - \varepsilon_{cm})$$

Vrijednost $\varepsilon_{sm} - \varepsilon_{cm}$ određuje se prema izrazu :

$$\varepsilon_{sm} - \varepsilon_{cm} = \frac{\sigma_s - k_t \frac{f_{ct,eff}}{\rho_{p,eff}} (1 + \alpha_\varepsilon \cdot \rho_{p,eff})}{E_s} \geq 0.6 \cdot \frac{\sigma_s}{E_s}$$

$$x = \frac{\alpha_{\varepsilon 1} \cdot A_{s1}}{b} \cdot \left(-1 + \sqrt{1 + \frac{2 \cdot b \cdot d}{\alpha_{\varepsilon 1} \cdot A_{s1}}} \right) = \frac{6.45 \cdot 7.85}{100} \cdot \left(-1 + \sqrt{1 + \frac{2 \cdot 100 \cdot 20}{6.45 \cdot 7.85}} \right) \\ = 4.02 \text{ cm}$$

$$\sigma_s = \frac{M_{Ed}}{z \cdot A_s} \approx \frac{M_{Ed}}{\left(d - \frac{x}{3}\right) \cdot A_s} = \frac{2127}{\left(20 - \frac{4.02}{3}\right) \cdot 7.85} = 14.52 \frac{\text{kN}}{\text{cm}^2} = 145.2 \text{ MPa}$$

Za C 25/30 $\rightarrow f_{ct,eff} = 2.6 \text{ MPa}$

$A_{s1} = Q - 785 = 7.85 \text{ cm}^2$

$E_{cm} = 31.0 \text{ GPa} = 31\,000 \text{ MPa}$ – modul elastičnosti betona

$E_s = 200.0 \text{ GPa} = 200\,000 \text{ MPa}$ – modul elastičnosti armature

$\alpha_e = \frac{E_s}{E_{cm}} = \frac{200}{31} = 6.45$ – Odnos modula elastičnosti

Djelotvorni koeficijent armiranja glavnom vlačnom armaturom:

$$\rho_{p,eff} = \frac{A_s}{A_{c,eff}} = \frac{7.85}{100 \cdot (2.5 \cdot 3.0)} = 0.0105$$

$$\varepsilon_{sm} - \varepsilon_{cm} = \frac{145.2 - 0.4 \frac{2.6}{0.0105} (1 + 6.45 \cdot 0.0105)}{200000} \geq 0.6 \cdot \frac{145.2}{200000}$$

$$-0.0002 \geq 0.00044$$

$$\varepsilon_{sm} - \varepsilon_{cm} = 0.00044$$

Srednji razmak pukotina:

$$s_{r,max} = k_3 \cdot c + k_1 \cdot k_2 \cdot k_4 \cdot \frac{\emptyset}{\rho_{p,eff}} [mm]$$

$\emptyset = 10.0 \text{ mm}$ –

$c = 20 \text{ mm}$ – Zaštitni sloj uzdužne armature

$k_1 = 0.8$ – Rebrasta armatura

$k_2 = 0.5$ – Savijanje

$k_3 = 3.4$

$k_4 = 0.425$

$$s_{r,max} = 3.4 \cdot 20 + 0.8 \cdot 0.5 \cdot 0.425 \cdot \frac{10}{0.0105} = 229.9 \text{ mm}$$

Karakteristična širina pukotina:

$$w_k = s_{r,max} \cdot (\varepsilon_{sm} - \varepsilon_{cm}) = 229.9 \cdot 0.00044 = 0.1 \text{ mm} < w_g = 0.3 \text{ mm}$$

Pukotine zadovoljavaju!

6.2 Proračun krovne ploče

Limitirajući moment:

$$M_{Rd,lim} = \mu_{sd,lim} \cdot b_w \cdot d^2 \cdot f_{cd} = 0.159 \cdot 1.0 \cdot 0.20^2 \cdot 16.67 \cdot 1000 = 106.02 \text{ kNm}$$

Minimalna i maksimalna armatura:

$$A_{s,min} = 0.0015 \cdot b \cdot d = 0.0015 \cdot 100 \cdot 20 = 3 \text{ cm}^2 / m$$

$$A_{s,min} = 0.06 \cdot b \cdot \frac{d}{f_{yk}} = 0.06 \cdot 100 \cdot \frac{20}{500} = 2.4 \text{ cm}^2 / m$$

$$A_{s,max} = 0.31 \cdot b \cdot d \cdot \frac{f_{cd}}{f_{yd}} = 0.31 \cdot 100 \cdot 20 \cdot \frac{16.67}{434.80} = 23.77 \text{ cm}^2 / m$$

Za proračun armature usvaja se $\zeta \approx 0.9$, potrebna armatura:

$$A_{s1} = \frac{M_{Ed}}{\zeta \cdot d \cdot f_{yd}} = \frac{M_{Ed} \cdot 100}{0.9 \cdot 20 \cdot 43.48} = M_{Ed} \cdot 0.150$$

Računska nosivost na poprečnu silu bez poprečne armature :

$$V_{Rd,c} = \left[C_{Rdc} \cdot k \cdot (100 \cdot \rho_l \cdot f_{ck})^{1/3} + k_1 \cdot \vartheta_{cp} \right] \cdot b_w \cdot d$$

$$k = 1.0 + \sqrt{\frac{200}{d}} = 1.0 + \sqrt{\frac{200}{200}} = 2.0 \leq 2.0 \rightarrow k = 2.0$$

$$k_1 = 0.15$$

$$\vartheta_{cp} = \frac{N_{Ed}}{A_c} = 0.0$$

$$C_{Rdc} = \frac{0.18}{\gamma_c} = \frac{0.18}{1.5} = 0.12$$

$$\rho_l = \frac{\sum A_s}{A_c} = \frac{3.85}{20 \cdot 100} = 0.0019$$

$$V_{Rd,c} = \left[0.12 \cdot 2.0 \cdot (100 \cdot 0.0019 \cdot 25)^{1/3} + 0.15 \cdot 0.0 \right] \cdot 1000 \cdot 200$$

$$V_{Rd,c} = 80.69 \text{ kN/m}$$

$$V_{Rd,c,min} = [v_{min} + k_1 \cdot \vartheta_{cp}] \cdot b_w \cdot d$$

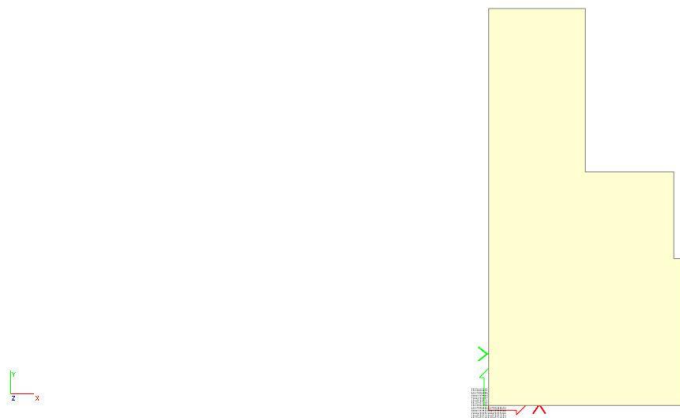
$$v_{min} = 0.035 \cdot k^{3/2} \cdot f_{ck}^{1/2} = 0.035 \cdot 2.0^{3/2} \cdot 25^{1/2} = 0.495$$

$$\vartheta_{cp} = \frac{N_{Ed}}{A_c} = 0.0$$

$$V_{Rd,c,min} = 0.495 \cdot 1000 \cdot 200 = 99.0 \text{ kN/m}$$

Uvjet je zadovoljen.

6.2.1 Prikaz modela i rezultata krovne ploče



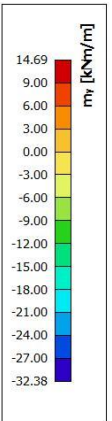
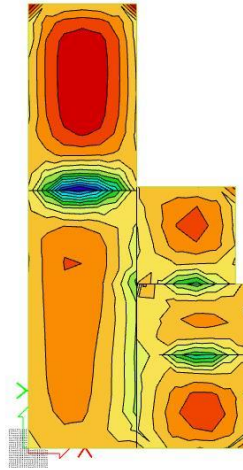
Slika 6.13 Prikaz modela

2D internal forces
 Values: m_x
 Linear calculation
 Combination: GSN1
 Extreme: Global
 Selection: All
 Location: In nodes avg. on macro.
 System: LCS mesh element



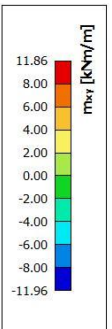
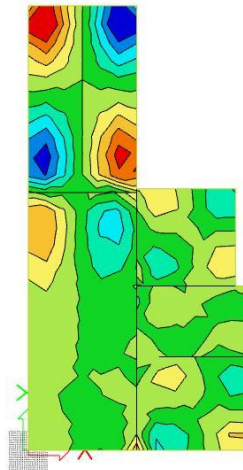
Slika 6.14 Moment savijanja $M_{Ed,x}$ (kNm/m) za GSN-1

2D internal forces
 Values: m_y
 Linear calculation
 Combination: GSN1
 Extreme: Global
 Selection: All
 Location: In nodes avg. on macro.
 System: LCS mesh element



Slika 6.15 Moment savijanja $M_{Ed,y}$ (kNm/m) za GSN-1

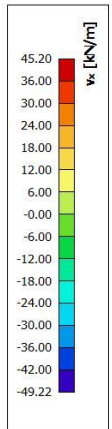
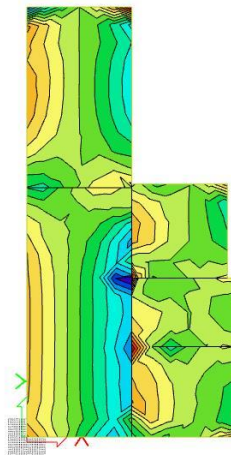
2D internal forces
 Values: m_{xy}
 Linear calculation
 Combination: GSN1
 Extreme: Global
 Selection: All
 Location: In nodes avg. on macro.
 System: LCS mesh element



Slika 6.16 Moment savijanja $M_{Ed,xy}$ (kNm/m) za GSN-1

2D internal forces

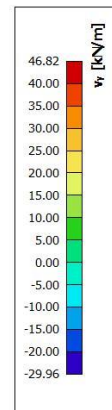
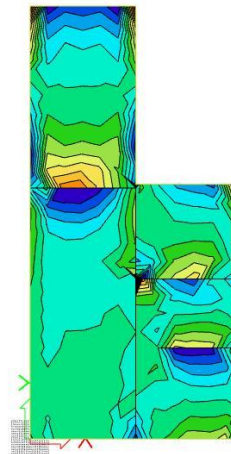
Values: v_x
 Linear calculation
 Combination: GSN1
 Extreme: Global
 Selection: All
 Location: In nodes avg. on macro.
 System: LCS mesh element



Slika 6.17 Poprečne sile $V_{Ed,x}$ (kN/m) za GSN-1

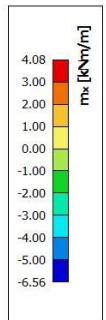
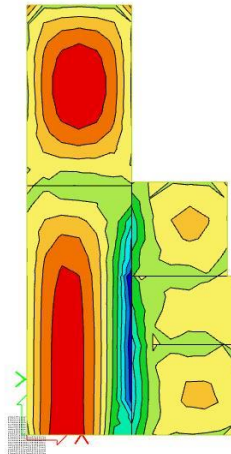
2D internal forces

Values: v_y
 Linear calculation
 Combination: GSN1
 Extreme: Global
 Selection: All
 Location: In nodes avg. on macro.
 System: LCS mesh element



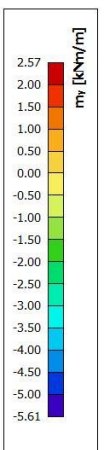
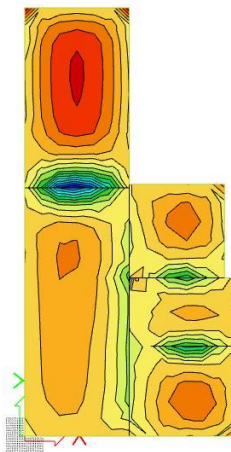
Slika 6.18 Poprečne sile $V_{Ed,y}$ (kN/m) za GSN

2D internal forces
 Values: m_x
 Linear calculation
 Combination: AS
 Extreme: Global
 Selection: All
 Location: In nodes avg. on macro.
 System: LCS mesh element



Slika 6.19 Potrebna površina armature $A_s(\text{cm}^2/\text{m})$ u x smjeru

2D internal forces
 Values: m_y
 Linear calculation
 Combination: AS
 Extreme: Global
 Selection: All
 Location: In nodes avg. on macro.
 System: LCS mesh element



Slika 6.20 Potrebna površina armature $A_s(\text{cm}^2/\text{m})$ u y smjeru

Napomena: Dobivenu armaturu zbog preraspodjele umanjiti za 15% nad ležajem i povećati za 30% u polju.

Potrebna armatura na ležaju: $A_s = 6.56 \times 0.85 = 5.58 \text{ cm}^2 / \text{m}'$

Potrebna armatura u polju: $A_s = 4.08 \times 1.30 = 5.3 \text{ cm}^2 / \text{m}'$

Odabrana armatura

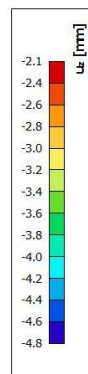
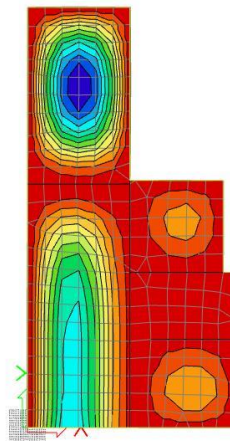
Ležaj: Q-636 ($6.36 \text{ cm}^2 / \text{m}'$)

Polje: Q-636 ($6.36 \text{ cm}^2 / \text{m}'$)

6.2.2 Kontrola progiba

3D displacement

Values: u_z
 Linear calculation
 Combination: GSU1
 Selection: All
 Location: In nodes avg. on macro.
 System: LCS mesh element

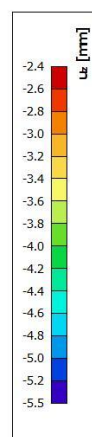
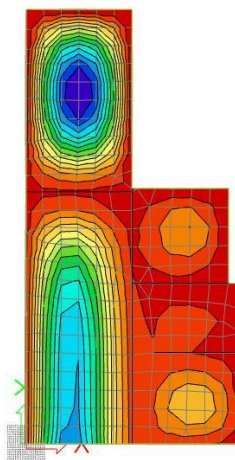


Slika 6.21 Progib ploče (mm) za kombinaciju GSU-1

Najveći progib iznosa je $4.8 - 2.1 = 2.7$ mm.
 Dozvoljen progib $L/1000 = 5500/1000 = 5.5$ mm
 Krovna ploča zadovoljava na progibe.

3D displacement

Values: u_z
 Linear calculation
 Combination: GSU2
 Selection: All
 Location: In nodes avg. on macro.
 System: LCS mesh element



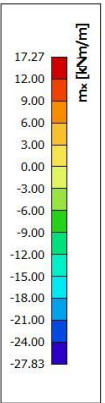
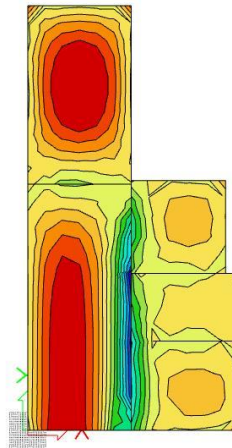
Slika 6.22 Progib ploče (mm) za kombinaciju GSU-2

Najveći progib iznosa je $5.5 - 2.4 = 3.1$ mm.
 Dozvoljen progib $L/1000 = 5500/1000 = 5.5$ mm
 Krovna ploča zadovoljava na progibe.

6.2.3 Kontrola pukotina

2D internal forces

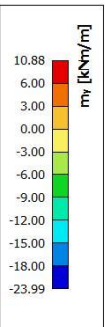
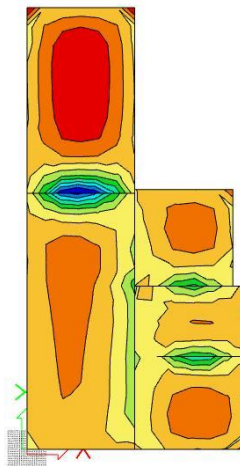
Values: m_x
 Linear calculation
 Combination: GSU1
 Extreme: Global
 Selection: All
 Location: In nodes avg. on macro.
 System: LCS mesh element



Slika 6.22 Moment savijanja $M_{Ed,x}$ (kNm/m) za GSU-1

2D internal forces

Values: m_y
 Linear calculation
 Combination: GSU1
 Extreme: Global
 Selection: All
 Location: In nodes avg. on macro.
 System: LCS mesh element



Slika 6.23 Moment savijanja $M_{Ed,y}$ (kNm/m) za GSU-1

Mjerodavni moment $M = 17.27 \text{ kNm/m}$

Prognozna širina pukotine:

$$w_k = s_{r,max} \cdot (\varepsilon_{sm} - \varepsilon_{cm})$$

Vrijednost $\varepsilon_{sm} - \varepsilon_{cm}$ određuje se prema izrazu :

$$\varepsilon_{sm} - \varepsilon_{cm} = \frac{\sigma_s - k_t \frac{f_{ct,eff}}{\rho_{p,eff}} (1 + \alpha_e \cdot \rho_{p,eff})}{E_s} \geq 0.6 \cdot \frac{\sigma_s}{E_s}$$

$$x = \frac{\alpha_{e1} \cdot A_{s1}}{b} \cdot \left(-1 + \sqrt{1 + \frac{2 \cdot b \cdot d}{\alpha_{e1} \cdot A_{s1}}} \right) = \frac{6.45 \cdot 6.36}{100} \cdot \left(-1 + \sqrt{1 + \frac{2 \cdot 100 \cdot 20}{6.45 \cdot 6.36}} \right) \\ = 3.66 \text{ cm}$$

$$\sigma_s = \frac{M_{Ed}}{z \cdot A_s} \approx \frac{M_{Ed}}{\left(d - \frac{x}{3}\right) \cdot A_s} = \frac{1727}{\left(20 - \frac{3.66}{3}\right) \cdot 6.36} = 14.45 \frac{\text{kN}}{\text{cm}^2} = 144.5 \text{ MPa}$$

Za C 25/30 $\rightarrow f_{ct,eff} = 2.6 \text{ MPa}$

$A_{s1} = Q - 636 = 6.36 \text{ cm}^2$

$E_{cm} = 31.0 \text{ GPa} = 31\,000 \text{ MPa}$ – modul elastičnosti betona

$E_s = 200.0 \text{ GPa} = 200\,000 \text{ MPa}$ – modul elastičnosti armature

$\alpha_e = \frac{E_s}{E_{cm}} = \frac{200}{31} = 6.45$ – Odnos modula elastičnosti

Djelotvorni koeficijent armiranja glavnom vlačnom armaturom:

$$\rho_{p,eff} = \frac{A_s}{A_{c,eff}} = \frac{6.36}{100 \cdot (2.5 \cdot 3.0)} = 0.0085$$

$$\varepsilon_{sm} - \varepsilon_{cm} = \frac{144.5 - 0.4 \frac{2.6}{0.0085} (1 + 6.45 \cdot 0.0085)}{200000} \geq 0.6 \cdot \frac{144.5}{200000}$$

$$-0.00077 \geq 0.00043$$

$$\varepsilon_{sm} - \varepsilon_{cm} = 0.00043$$

Srednji razmak pukotina:

$$s_{r,max} = k_3 \cdot c + k_1 \cdot k_2 \cdot k_4 \cdot \frac{\emptyset}{\rho_{p,eff}} [mm]$$

$\emptyset = 9.0 \text{ mm}$ –

$c = 20 \text{ mm}$ – Zaštitni sloj uzdužne armature

$k_1 = 0.8$ – Rebrasta armatura

$k_2 = 0.5$ – Savijanje

$k_3 = 3.4$

$k_4 = 0.425$

$$s_{r,max} = 3.4 \cdot 20 + 0.8 \cdot 0.5 \cdot 0.425 \cdot \frac{9}{0.0085} = 248 \text{ mm}$$

Karakteristična širina pukotina:

$$w_k = s_{r,max} \cdot (\varepsilon_{sm} - \varepsilon_{cm}) = 248 \cdot 0.00043 = 0.11 \text{ mm} < w_g = 0.3 \text{ mm}$$

Pukotine zadovoljavaju!

7. PRORAČUN ZIDOVA

7.1 Opći uvjeti

- Minimalna debljina: $b_{wo} \geq \max \{0.15 \text{ m}, h_s/20\}$, (h_s =svijetla katna visina)
- Ograničenje naprezanja u betonu (srednjeg tlačnog naprezanja) je:

$$v_d = N_{Ed}/A_c f_{cd} \leq 0.40 \text{ (klasa DCM), odnosno } \sigma_{c,Rd} \leq 0.40 \cdot f_{cd}$$

N_{Ed} = uzdužna sila u proračunu potresne proračunske situacije

seizmička kombinacija za C25/30: $\sigma_{c,Rd,E} \leq 0.40 \cdot (25/1.5) = 6.7 \text{ MPa}$

- Kritično područje:
 $\min \{2L_w, h_s\} \geq h_{cr} \geq \max \{L_w, h_w/6\}$, (L_w =duljina zida, h_w =ukupna visina zida, h_s =svijetla katna visina)

- Minimalno armiranje:
na krajevima zida:

vertikalno: $\rho_{min} = 0.5\%$ od površine $A_c = L_c \cdot b_w$ ($L_c = \max \{0.15 L_w, 1.5 b_w\}$)

spone: min $\phi 6$; max. razmak: $\min \{8d_{bL}, b_o/2, 175 \text{ mm}\}$ (d_{bL} =promjer vert. šipki; b_o =širina jezgre)

ostali dio zida:

vertikalno: $\rho_{min} = 0.2\%$

horizontalno: $\rho_{min} = 0.2\%$

spone: min $4\phi 6/m^2$

- Lagano armirani zidovi $L_w \geq \min \{4 \text{ m}, 2/3 h_w\}$
- Najmanji omjer poprečne armature $\rho_{w,min}$ velikih slabo armiranih betonskih zidova:
 $\rho_{w,min} = 0.15 \cdot (f_{ct,m}/f_{yd})$.

C 25/30 ($f_{ct,m} = 2.6 \text{ MPa}$); B 500B ($f_y = 500 \text{ MPa}$); $\rho_{w,min} = 0.15 \cdot (2.6/435) = 0.0009$

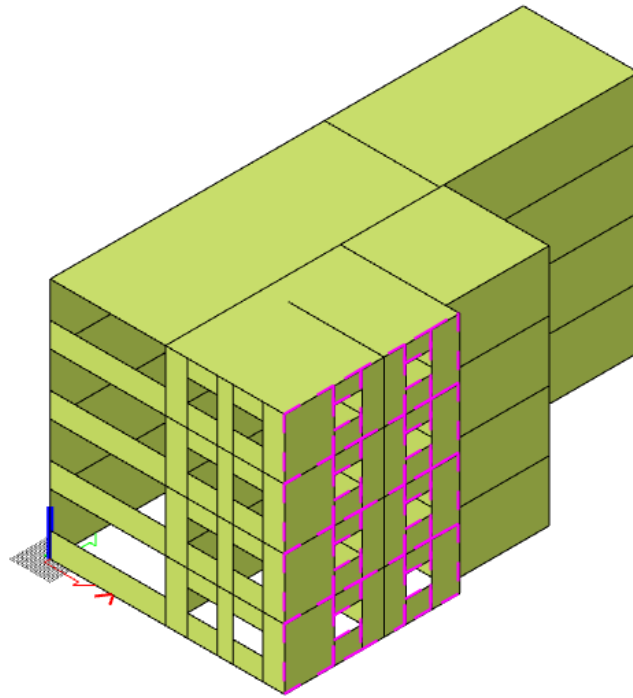
$b_w = 16 \text{ cm}$; $A_{s,min} = 0.0009 \cdot 16 \cdot 100/2 = 0.72 \text{ cm}^2/m$ obostrano

$b_w = 20 \text{ cm}$; $A_{s,min} = 0.0009 \cdot 20 \cdot 100/2 = 0.90 \text{ cm}^2/m$ obostrano

$b_w = 30 \text{ cm}$; $A_{s,min} = 0.0009 \cdot 30 \cdot 100/2 = 1.35 \text{ cm}^2/m$ obostrano

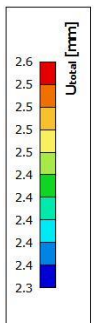
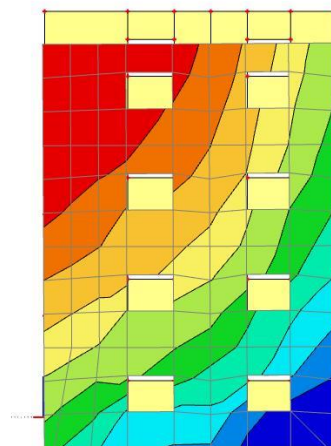
$b_w = 40 \text{ cm}$; $A_{s,min} = 0.0009 \cdot 40 \cdot 100/2 = 1.80 \text{ cm}^2/m$ obostrano

7.2 Prikaz modela i dijagrama



Slika 7.2.1 Položaj zida na kojem je izvršen proračun

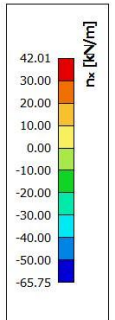
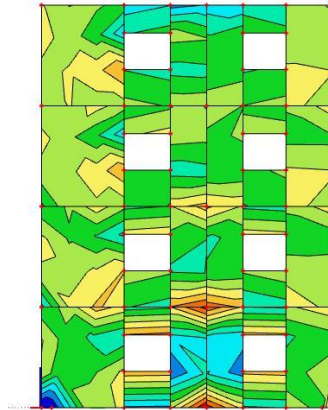
3D displacement
 Values: U_{total}
 Linear calculation
 Combination: GSU2
 Selection: All
 Location: In nodes avg. on macro.
 System: LCS mesh element



Slika 7.2.2 Pomaci (mm) za nazovistalnu kombinaciju GSU2

2D internal forces

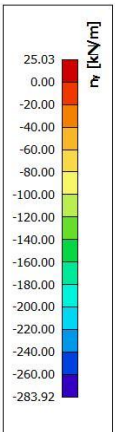
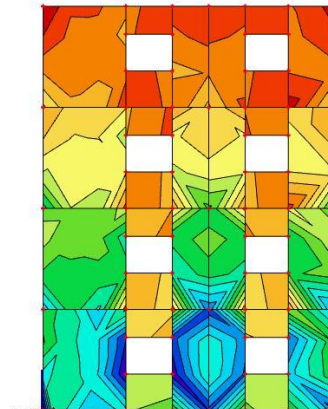
Values: n_x
 Linear calculation
 Class: AGSN
 Extreme: Global
 Selection: All
 Location: In nodes avg. on macro.
 System: LCS mesh element



Slika 7.2.3 Uzdužne sile n_{Ed} [kN/m] u smjeru X, u zidovima za anvelopu GSN

2D internal forces

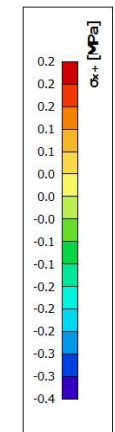
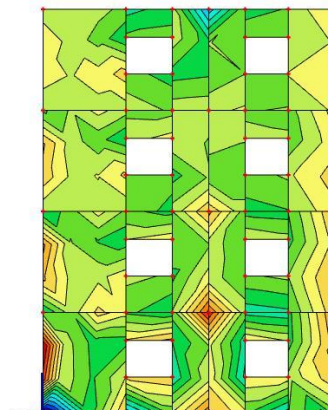
Values: n_y
 Linear calculation
 Class: AGSN
 Extreme: Global
 Selection: All
 Location: In nodes avg. on macro.
 System: LCS mesh element



Slika 7.2.4 Uzdužne sile n_{Ed} [kN/m] u smjeru Y, u zidovima za anvelopu GSN

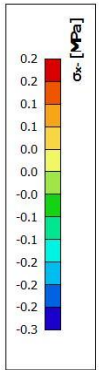
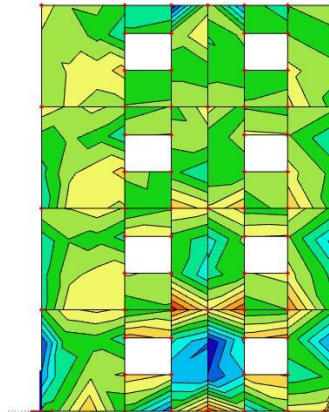
2D stress/strain

Values: σ_{x+}
 Linear calculation
 Combination: GSN1
 Extreme: Global
 Selection: All
 Location: In nodes avg. on macro.
 System: LCS mesh element



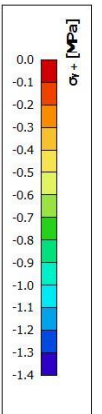
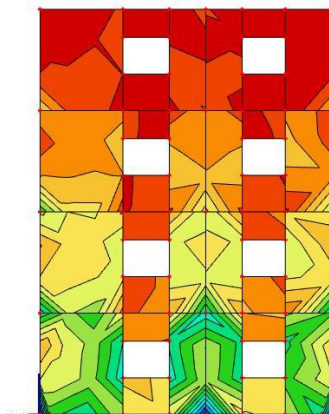
Slika 7.2.5 Naprezanja u zidu σ_{x+} za kombinaciju GSN-1

2D stress/strain
 Values: σ_x
 Linear calculation
 Combination: GSN1
 Extreme: Global
 Selection: All
 Location: In nodes avg. on macro.
 System: LCS mesh element



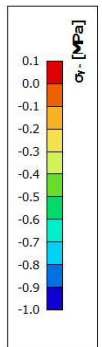
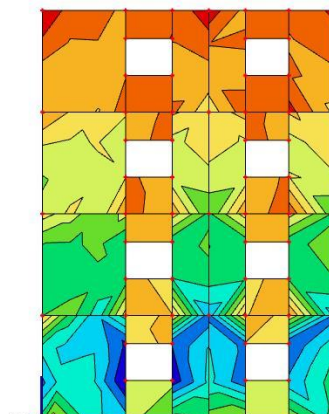
Slika 7.2.6 Naprezanja u zidu σ_x - za kombinaciju GSN-1

2D stress/strain
 Values: σ_y
 Linear calculation
 Combination: GSN1
 Extreme: Global
 Selection: All
 Location: In nodes avg. on macro.
 System: LCS mesh element



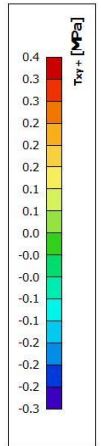
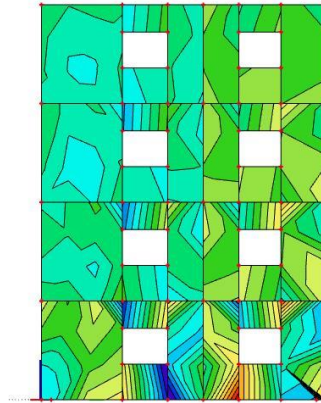
Slika 7.2.7 Naprezanja u zidu σ_y + za kombinaciju GSN-1

2D stress/strain
 Values: σ_y
 Linear calculation
 Combination: GSN1
 Extreme: Global
 Selection: All
 Location: In nodes avg. on macro.
 System: LCS mesh element



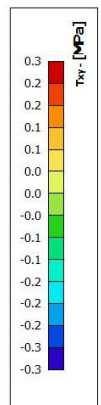
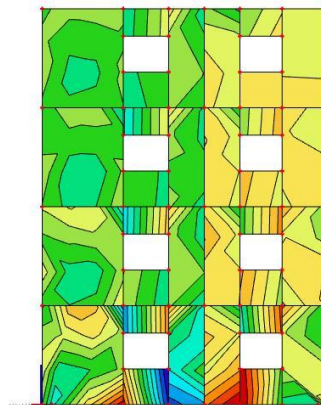
Slika 7.2.8 Naprezanja u zidu σ_y - za kombinaciju GSN-1

2D stress/strain
 Values: τ_{xy+}
 Linear calculation
 Combination: GSN1
 Extreme: Global
 Selection: All
 Location: In nodes avg. on macro.
 System: LCS mesh element



Slika 7.2.9 Posmična naprezanja u zidu τ_{xy+} za kombinaciju GSN-1

2D stress/strain
 Values: τ_{xy-}
 Linear calculation
 Combination: GSN1
 Extreme: Global
 Selection: All
 Location: In nodes avg. on macro.
 System: LCS mesh element



Slika 7.2.10 Posmična naprezanja u zidu τ_{xy-} za kombinaciju GSN-1

8. PRORAČUN TEMELJA

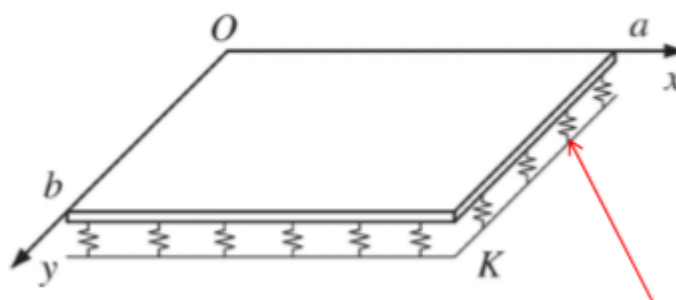
Kao što je navedeno u prethodnim poglavljima, građevina je temeljena s modelom trakastih temelja..

Osnovni problem modeliranja savitljivih konstrukcija je modeliranje međudjelovanja konstrukcija – tlo.

Rješenje savitljivih temeljnih konstrukcija analitičkom (zatvorenom) obliku u većini složenijih problema se rješava nekom od numeričkih metoda.

U rješavanju problema tlo se modelira na dva osnovna pristupa :

- Analiza u neprekidnoj sredini – proračun se vrši nekom od numeričkih metoda u kojoj se tlo modelira kao poluprostor. Potrebni podatci o tlu E i ν za linearno elastičan model.
- Međudjelovanje konstrukcija – tlo se modelira Winklerovim modelom (opruge). Koristi se linearan model s konstantnom krutošću ili model s promjenjivom krutošću. Ovaj pristup je približan jer se zanemaruje međusobni utjecaj pomaka različitih točaka u tlu.



Slika 8.1 Međudjelovanje konstrukcija – tlo modelirano Winkler- ovim modelom

U rješavanju problema koristio se Winklerovom model temeljenja.

Winklerov prostor samo približno opisuje deformacijske osobine temeljnog tla. Stišljivo tlo zamjenjujemo sustavom elastičnih pera, tako da je pomak točke na površini Winklerovog prostora linearno proporcionalnom reaktivnom pritisku:

$$W(x) = \frac{q(x)}{K}$$

K – koeficijent reakcije tla ($\text{kN/m}^2/\text{m}'$)

Koeficijent reakcije (odgovora) podloge – Winklerov koeficijent.

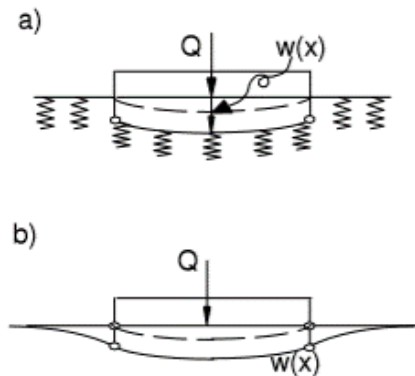
Koeficijent reakcije podloge K je odnos između dodirnog naprezanja q kojim tlo odgovara na vanjsko opterećenje i slijeganja w , koje to isto naprezanje izazove u tlu.

$$K = \frac{q}{w} \left[\frac{\text{kN}}{\text{m}^3} \right]$$

Vrijednost koeficijenta K ovisi o elastičnim svojstvima podloge i o veličini opterećene površine.

$$EI \cdot \frac{d^4 w}{dx^4} + K \cdot w(x) = p(x) + g$$

Uz korištenje rubnih uvjeta ovu diferencijalnu jednadžbu je moguće riješiti u zatvorenom obliku.



Slika 8.2 Winklerov model (a) i stvarni nosač (b)

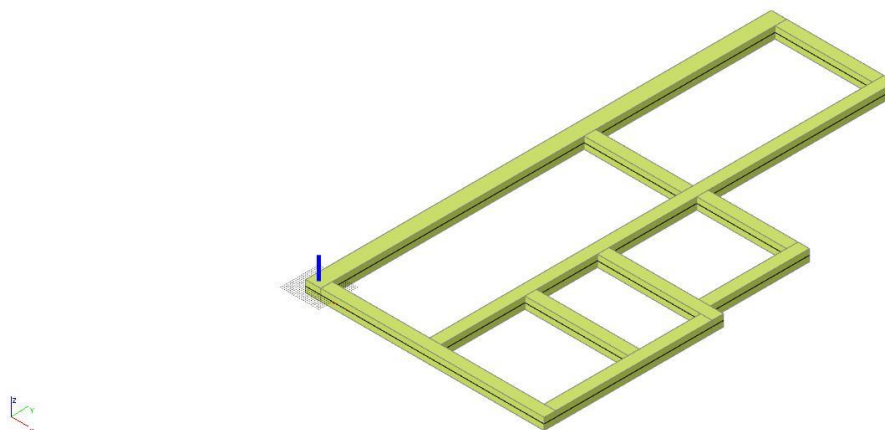
Nedostatci ovog modela :

- Opterećenje skraćuje samo ona pera na kojima grede izravno leži (zanemaruje se međusobni utjecaj)
- Na tlo se može prenijeti kao pritisak tako i zatezanje
- Određivanje koeficijenata reakcije tla (K) koji ovisi o intenzitetu opterećenja, obliku i veličini opterećene plohe , krutosti grede, svojstvima materijala grede, svojstvima temeljnog tla ispod grede

8.2 Proračun trakastih temelja

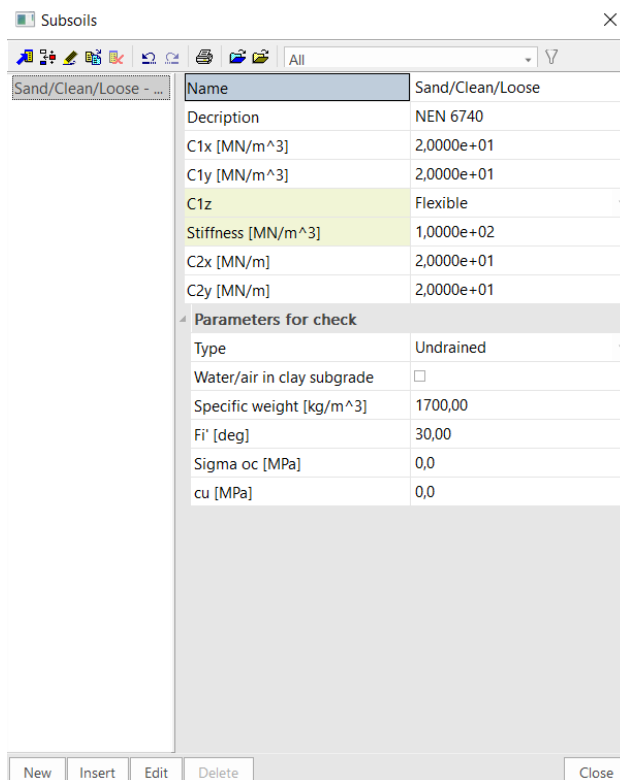
8.2.1 Model trakastih temelja

Temelji su modelirani kao gredni elementi, na kojima su postavljeni linijski ležajevi.



Slika 8.3 Model trakastih temelja

Kako bismo u model unijeli realnu stišljivost tla, linijske ležajeve ćemo modelirati kao fleksibilne kojima ćemo pomak u smjeru z zadati pomoću krutosti tla. Ostali pomaci i zaokreti su spriječeni.

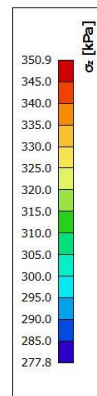
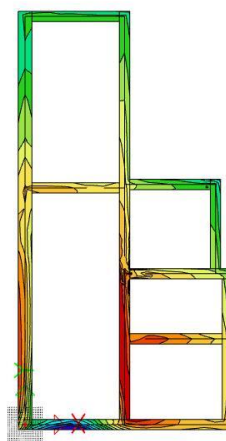


Slika 8.4 Model fleksibilnih linijskih ležajeva

8.2.2 Proračun širine temeljne stope

Širine temeljnih stopa odabrali smo na način da nam zadovolje naprezanja koja nam tlo može prenijeti. Nosivost tla dobili smo iz geomehantičkog elaborata. Na osnovu geotehničkih istražniih radova dobiveni su rezultati za osnovna opterećenja od 400 kPa.

2D contact stresses
 Values: σ_z
 Linear calculation
 Combination: GSN2
 Extreme: Global
 Selection: All
 Location: In nodes avg.. System: LCS
 mesh element



Slika 8.5 Kontaktno naprezanje na mjestima oslanjanja zidova na temeljne trake u kombinaciji GSN2

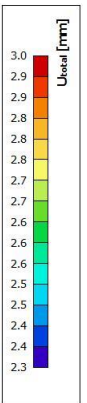
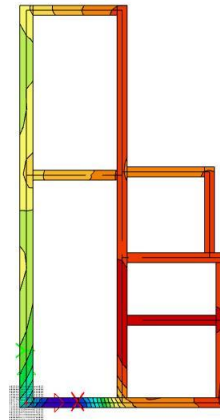
Cilj proračuna je dobiti približno jednak omjer računske nosivosti i nosivosti tla, tako da slijeganje temelja bude što ujednačenije. Vrijednost dopuštenog kontaktnog naprezanja je 400 kN/m².

8.2.3 Slijeganje građevine

Iz tablice je vidljivo da su naprezanja ispod temeljnih traka približno jednaka odnosno postignuto je ravnomjerno naprezanje na kontaktu temelja i nosivog tla. Ravnomjernim naprezanjem dobiva se ravnomjerno slijeganje temeljnog tla, na taj način izbjegava se pojava diferencijalnog slijeganja.

2D displacement

Values: U_{total}
Linear calculation
Combination: GSN1
Extreme: Global
Selection: All
Location: In nodes avg. on macro.
System: LCS mesh element



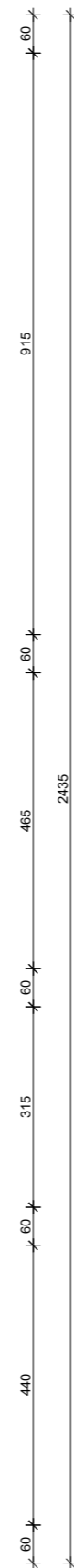
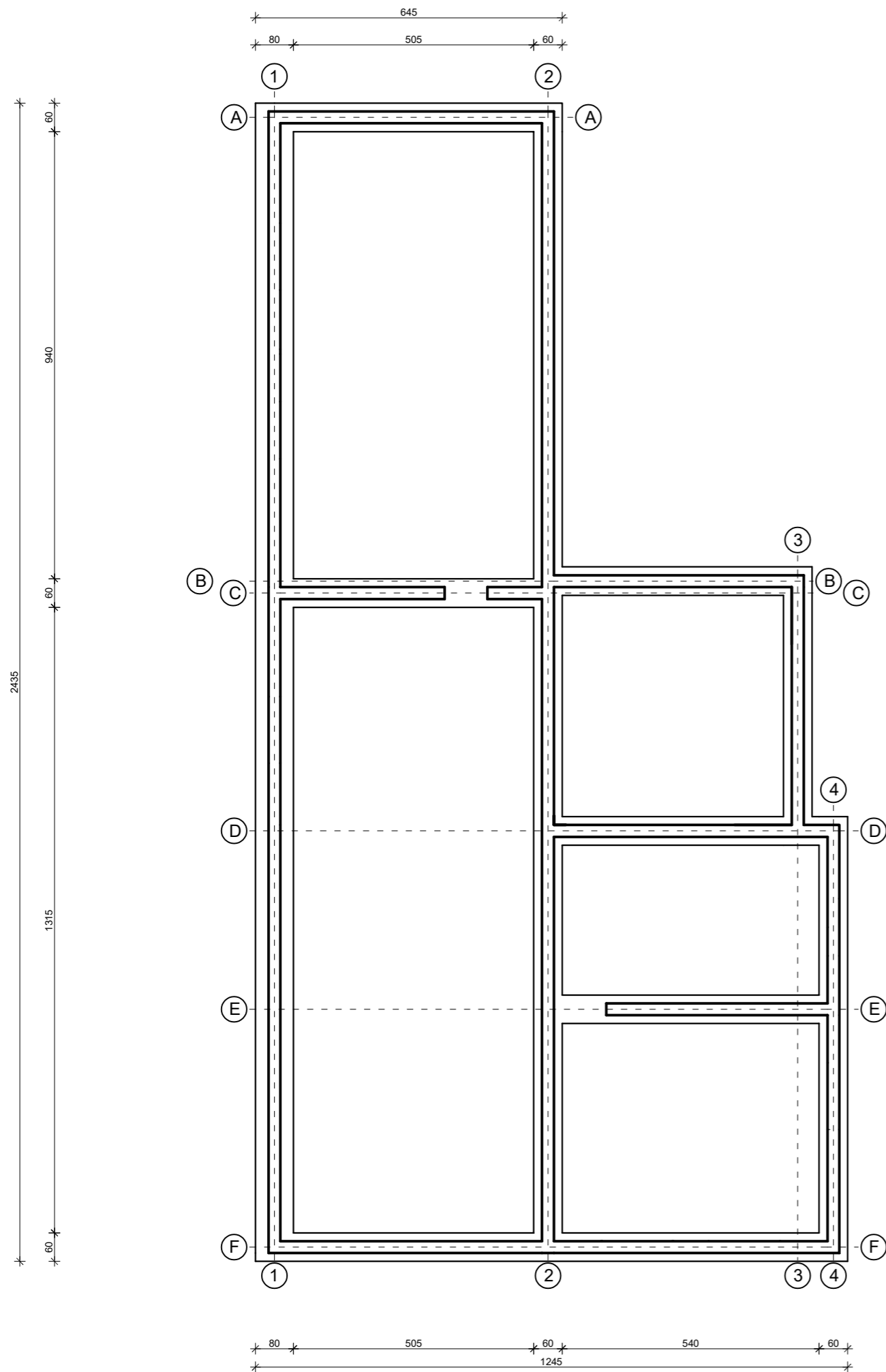
Slika 8.6 Slijeganje trakastih temelja za kombinaciju GSN


Na slici vidimo da se građevina ravnomjerno slegnula odnosno izbjegli smo pojavu diferencijalnog slijeganja.

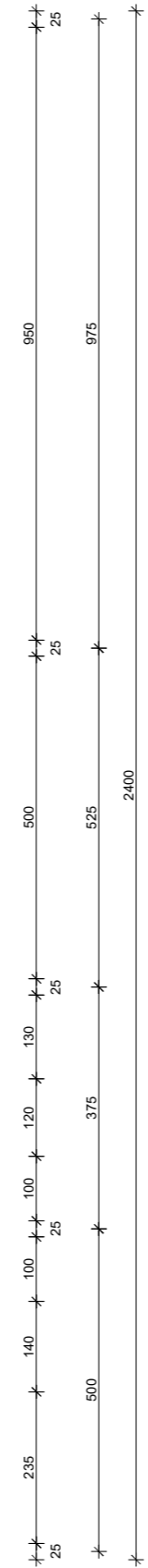
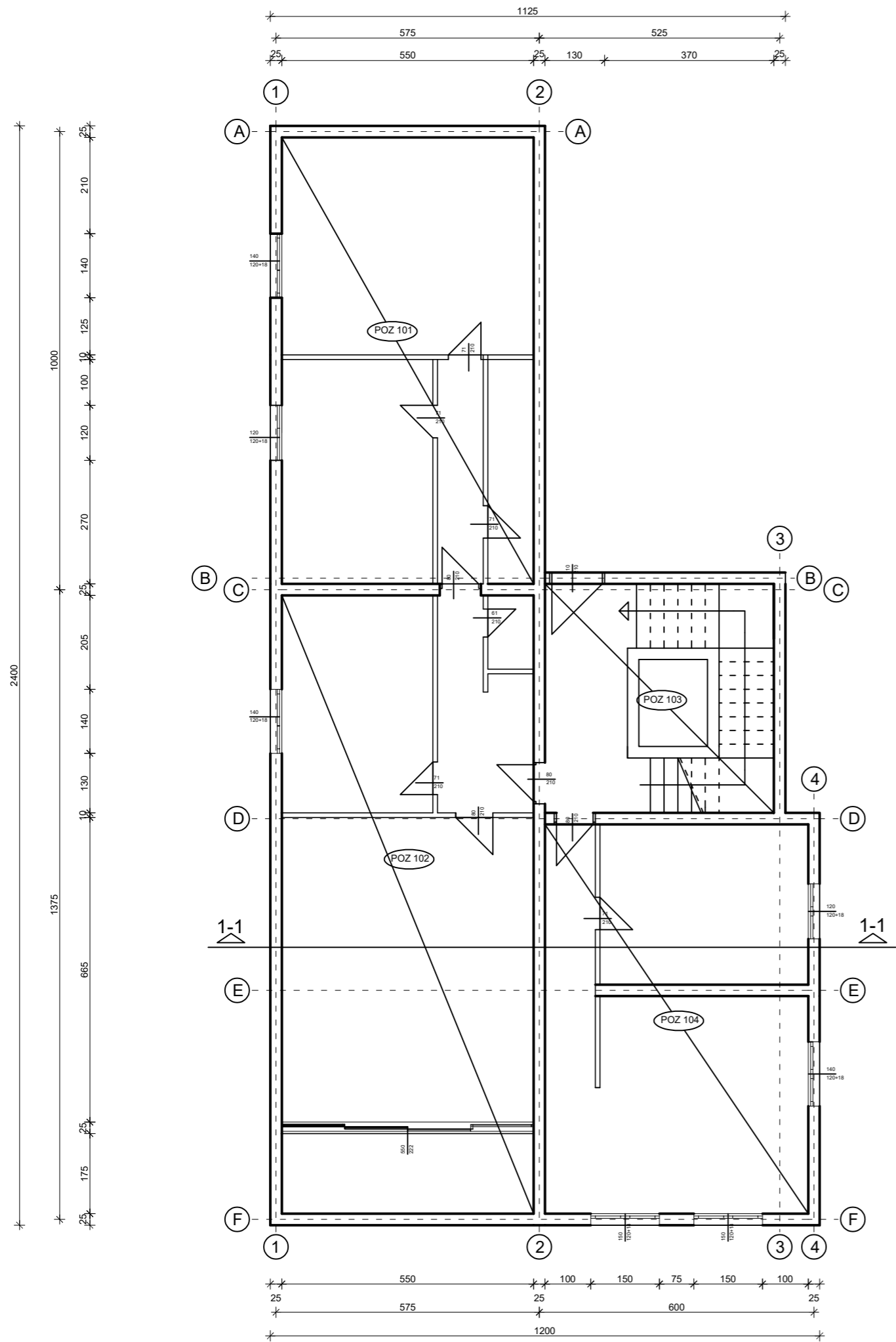
9. GRAFIČKI PRILOZI


Redom su priloženi:

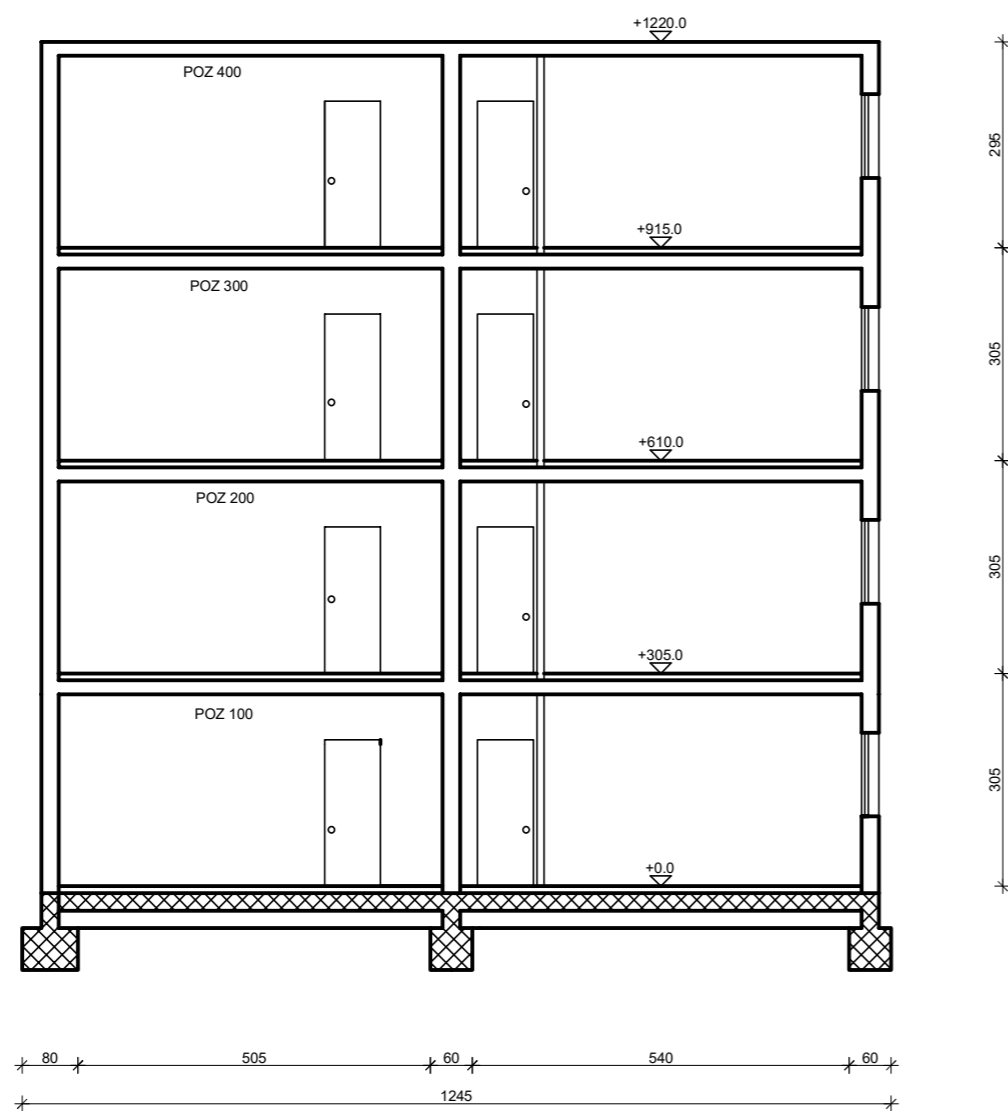
- Tlocrt temelja M 1:100
- Tlocrt karakteristične etaže M 1:100
- Presjek 1-1 M 1:100




| | | |
|--|--|-----------------|
|  SVEUČILIŠTE U SPLITU GRADEVINSKO - ARHITEKTONSKI FAKULTET 21000 SPLIT, MATICE HRVATSKE 15 | GRAĐEVNA STATIKA | |
| | STATIČKI PRORAČUN STAMBENE ZGRADE | |
| STUDENT: | TLOCRT TEMELJA | |
| Karlo Ivanušić | Akademaska godina: 2021/2022 | BROJ PRILOGA: 1 |
| | M 1:100 | |



| | | |
|--|--|-----------------|
|  SVEUČILIŠTE U SPLITU GRAĐEVINSKO - ARHITEKTONSKI FAKULTET 21000 SPLIT, MATICE HRVATSKE 15 | GRAĐEVNA STATIKA | |
| | STATIČKI PRORAČUN STAMBENE ZGRADE | |
| STUDENT: | TLOCRT KARAKTERISTIČNE ETAŽE | |
| Karlo Ivanušić | Akademaska godina: 2021/2022 | BROJ PRILOGA: 2 |
| | M 1:100 | |



| | | |
|---|--|------------------------|
|  <small>SVEUČILIŠTE U SPLITU GRAĐEVINSKO - ARHITEKTONSKI FAKULTET 21000 SPLIT, MATICE HRVATSKE 15</small> | GRAĐEVNA STATIKA | |
| | STATIČKI PRORAČUN STAMBENE ZGRADE | |
| STUDENT: Karlo Ivanušić | PRESJEK 1-1 | |
| | Akademski godina: 2021/2022 | BROJ PRILOGA: 3 |
| | M 1:100 | |

LITERATURA

- Ante Mihanović, Boris Trogrlić, **Građevna statika I**, Sveučilište u Splitu, Fakultet građevinarstva, arhitekture i geodezije, Split 2011.
- Ante Mihanović, Boris Trogrlić, **Građevna statika II**, Sveučilište u Splitu, Fakultet građevinarstva, arhitekture i geodezije, Split 2011.
- Ivan Tomičić, **Betonske konstrukcije**, Društvo hrvatskih građevinskih konstruktora, Zagreb 1996.
- Jure Radnić, Alen Harapin, **Osnove betonskih konstrukcija**, interna skripta, Sveučilište u Splitu, Fakultet građevinarstva, arhitekture i geodezije, Split 2015.